

## ИНЖЕКЦИЯ НЕРАВНОВЕСНЫХ ТОЧЕЧНЫХ ДЕФЕКТОВ ПРИ ДИФФУЗИИ ПРИМЕСЕЙ В КРИСТАЛЛАХ СО СМЕШАННЫМ МЕХАНИЗМОМ САМОДИФФУЗИИ

Константинов А. О.

Рассмотрена диффузия по межузлям замещающей примеси в кристалле со смешанным механизмом самодиффузии. Получены критерии нарушения равновесного распределения точечных дефектов, выражения для коэффициента инжекции неравновесных собственных межузлий в объеме кристалла и нелокального концентрационно зависимого коэффициента диффузии. Показано, что вакансационная самодиффузия существенна лишь при значительной доле вакансационной компоненты, сравнимой или превышающей межузельную компоненту самодиффузии. Влияние вакансационной самодиффузии ограничивается лишь приповерхностной областью, в то время как в объеме кристалла вакансины рекомбинируют с инжектированными собственными межузлями и не оказывают существенного влияния на диффузию примеси. При высокой концентрации и подвижности примеси ее диффузия определяется не столько конкретными особенностями этой примеси, сколько темпом образования свободных узлов кристаллической решетки благодаря притоку вакансий или стоком на поверхность избыточных собственных межузлий. Для облегчения анализа механизма самодиффузии мы предлагаем использовать профили обратной концентрации примеси, которые дают зависимость, близкую к линейной. При значительной доле вакансационной компоненты линейный участок сдвигается в объем кристалла благодаря ускоренной диффузии, связанной с притоком вакансий. Коэффициенты межузельной и вакансационной самодиффузии можно определить по наклону зависимости и величине ее сдвига.

При диффузии ряда примесей в полупроводниковых кристаллах происходит нарушение равновесия в системе собственных точечных дефектов. Этот процесс наблюдается тогда, когда поток примеси, диффундирующей в кристалле, велик и превосходит характерные значения равновесных потоков собственных дефектов ( $D_A C_A > D_S N_S$ ), где  $D_A$  и  $D_S$  — коэффициенты диффузии примеси и самодиффузии,  $C_A$  и  $N_S$  — концентрации примеси и узлов решетки соответственно. Нарушение равновесия в системе собственных точечных дефектов наблюдается при диффузии благородных и переходных металлов в германии и кремнии, а также при диффузии некоторых основных легирующих примесей, например бора и фосфора в кремнии и цинка в полупроводниках АШВ. Для описания этого процесса в кристаллах с вакансационным механизмом самодиффузии используется модель диссоциативной диффузии Франка и Тернбенгла [1], а в кристаллах с межузельным механизмом самодиффузии — модель вытеснения, предложенная Гезеле, Франком и Зеегерем [2, 3]. В ряде случаев, однако, оказывается существенным как вакансационный, так и межузельный механизм самодиффузии. Такая ситуация имеет место, в частности в кремнии, где вакансационный и межузельный коэффициенты одного порядка. Если диффундирующая примесь не влияет на положение уровня Ферми, то особенности профилей распределения могут быть использованы для исследования самодиффузии и определения коэффициентов самодиффузии по вакансиям и межузлям. Этот метод определения соотношения вакансационной и межузельной компонент самодиффузии был применен в работе [4], в которой семейство экспериментальных профилей золота в кремнии сопоставляется с результатами численного расчета. Расчет проводился на основе модели, предполагающей, что коэффициент диффузии золота определяется суммой коэффициентов диффузии по вакансиям и межузлям.

кансионному и межузельному механизму. Недостатком этой модели является ограниченная применимость: только для предела высокой поверхностной концентрации и только для диффузии в тонкую пластину.

В настоящей работе проведен анализ процесса диффузии примеси в кристалле со смешанным механизмом самодиффузии. Получены зависимости концентрации неравновесных межузлий от поверхностной и текущей концентрации примеси, а также аналитическое выражение для нелокального концентрационно зависимого коэффициента диффузии. Показано, что величина пороговой поверхностной концентрации примеси, необходимой для инжекции точечных дефектов, определяется полной величиной коэффициента самодиффузии, включающего как вакансационную, так и межузельную компоненты. При значительном превышении поверхностной концентрации порогового значения коэффициент инжекции неравновесных межузлий определяется лишь межузельной составляющей, а коэффициент диффузии становится суммой коэффициентов диффузии по диссоциативному механизму и механизму вытеснения. В работе мы также предлагаем методику анализа профилей распределения примеси, которая позволяет оценить коэффициенты вакансационной и межузельной самодиффузии, не прибегая к численному моделированию. Она состоит в том, что профили распределения примеси строятся на графике в масштабе обратной концентрации как функции расстояния от границы  $C_A^{-1}(x)$ . Для случая малой доли вакансационной самодиффузии зависимости  $C_A^{-1}(x)$  близки к линейным. При заметной доле вакансационной самодиффузии  $D_{sv} > D_{si}$  на зависимостях  $C_A^{-1}(x)$  появляется сверхлинейный участок, связанный с проникновением примеси по диссоциативному механизму диффузии. Протяженность сверхлинейного участка используется для определения отношения компонент самодиффузии, а величина межузельной компоненты определяется по наклону линейного участка зависимости  $C_A^{-1}(x)$ .

## 1. Основные уравнения

Рассматриваемая нами модель предполагает, что единственным подвижным состоянием примеси является примесный атом в межузельном положении. Выход примесного атома в межузелие описывается квазихимической реакцией

$$A_s + I = A_I, \quad k(T) = C_A C_I / C_{AI}, \quad (1)$$

где  $A_s$  и  $A_I$  — примесный атом в узельном и межузельном положениях,  $I$  — собственный межузельный атом кристалла,  $C_A$ ,  $C_{AI}$  и  $C_I$  — соответствующие концентрации,  $k$  — константа равновесия. Взаимодействие собственных точечных дефектов будет описываться соотношением

$$I + V = S, \quad C_I C_V = C_I^e C_V^e, \quad (2)$$

где  $V$  — вакансия,  $S$  — собственный узельный атом кристалла,  $C_V$  — концентрация вакансий,  $C_I^e$  и  $C_V^e$  — равновесные концентрации дефектов. Уравнение непрерывности будет иметь следующий вид:

$$\frac{\partial C_A}{\partial s} + \frac{\partial C_{AI}}{\partial t} = D_{AI} \frac{\partial^2 C_{AI}}{\partial x^2}, \quad (3)$$

$$\frac{\partial C_I}{\partial t} - \frac{\partial C_V}{\partial t} - \frac{\partial C_A}{\partial t} = D_I \frac{\partial^2 C_I}{\partial x^2} - D_V \frac{\partial^2 C_V}{\partial x^2} - (C_I - C_I^e) R_I + (C_V - C_V^e) R_V. \quad (4)$$

Здесь  $D_I$  и  $D_V$  — коэффициенты диффузии собственных межузлий и вакансий,  $D_{AI}$  — коэффициент диффузии межузельных атомов примеси. Константы  $R_I$  и  $R_V$  определяют скорость стока неравновесных точечных дефектов на дислокации или же, напротив, скорость их генерации. Мы будем рассматривать случай достаточно совершенного кристалла с низкой плотностью дислокаций и полагать  $R_I = R_V = 0$ . Нас интересует тот случай, когда основная часть примеси находится в узельном положении, и поэтому в левой части (3) можно пренебречь концентрацией межузельной примеси. Поскольку процесс накачки неравновесных дефектов происходит лишь в области высокой концентрации

примеси, в левой части (4) также можно пренебречь концентрациями  $C_I$  и  $C_V$  в сравнении с  $C_A$ . С учетом принятых допущений соотношение (3) преобразуется к форме уравнения концентрационно зависимой диффузии:

$$\frac{\partial C_A}{\partial t} = \frac{\partial}{\partial x} \left[ D_A(C_A) \frac{\partial C_A}{\partial x} \right], \quad (5)$$

где

$$D_A(C_A) = \frac{D_{AI}}{k} C_I \left[ 1 + \frac{\partial C_I / \partial x}{\partial C_A / \partial x} \right]. \quad (6)$$

Зависимость концентрации дефектов от концентрации примеси нетрудно рассчитать, обратив внимание на то, что с учетом принятых допущений левые части (3) и (4) различаются лишь знаком. Используя (1) и (2), получаем

$$\frac{\partial^2}{\partial x^2} \left[ D_{AI} \frac{C_A C_I}{k} + \frac{C_I^e C_V^e}{C_I} D_V - C_I D_I \right] = 0. \quad (7)$$

Интегрируя соотношение (7) и используя (6), получаем коэффициент диффузии в форме

$$D_A = \frac{D_I C_I^e}{a_I} \frac{C_I / C_I^e [(C_I / C_I^e)^2 + \gamma]}{(1 + C_A / a_I)(C_I / C_I^e)^2 + \gamma}. \quad (8)$$

В соотношении (8) введены характерная концентрация примеси  $a_I$  и фактор вакансационной самодиффузии  $\gamma$ :

$$a_I = k D_I / D_{AI}, \quad (9)$$

$$\gamma = C_V^e D_V / C_I^e D_I. \quad (10)$$

Мы определим также характерную концентрацию  $a_V$ :

$$a_V = \gamma a_I. \quad (11)$$

Концентрации  $a_I$  и  $a_V$  имеют физический смысл характерных концентраций примеси, необходимых для нарушения равновесия в системе собственных точечных дефектов. Обратим внимание, что фактор вакансационной самодиффузии в нашем определении (10) отличается от отношения коэффициентов самодиффузии по вакансиям и межузлям множителем 2, поскольку коэффициенты самодиффузии определяются величинами  $D_{SI} = D_I C_I^e / N_s$  для межузлей и  $D_{SV} = -D_V C_V^e / N_s$  для вакансий. Интегрируя соотношение (7) дважды и учитывая, что поверхностные концентрации точечных дефектов соответствуют равновесным значениям, находим зависимость концентрации неравновесных межузлей от концентрации примеси

$$C_A = \frac{C_I^e}{2(C_A + a_I)} \left[ C_I^e + a_I - a_V + |C_I^e + a_I - a_V| \sqrt{1 + \frac{4a_V(C_A + a_I)}{a_I(C_A + a_I - a_V)}} \right]. \quad (12)$$

Соотношение (12) имеет ту особенность, что концентрация неравновесных межузлей не обращается в нуль на хвосте диффузионного распределения ( $C_A \rightarrow 0$ ). Это связано с использованием приближения  $C_A \gg C_I$ . Согласно (12), процесс накачки неравновесных межузлей не происходит при  $C_A \leq a_I$  и при более низких концентрациях  $D_A = \text{const}$ , поэтому использованное нами допущение на самом деле не ограничивает области применимости соотношений (8) и (12). Распределения точечных дефектов на больших расстояниях, заметно превосходящих глубину проникновения примеси, описывается стандартным erf-профилем с коэффициентом диффузии  $D_I$ . При диффузии в тонкую пластину, когда примесь проникает на всю глубину, соотношения (8) и (12) применимы лишь для случая диффузии с обеих противоположных поверхностей. Это ограничение связано с тем, что константа первого интегрирования соотношения (7) положена равной нулю.

## 2. Особенности профилей распределения примеси

При низкой поверхностной концентрации примеси ( $C_A^* < a_I$ ) коэффициент диффузии  $a_V$  постоянен и равен

$$D_A(C_A^* \rightarrow 0) = D_a = D_I C_I^* a_I. \quad (13)$$

В пределе малой скорости вакансационной самодиффузии ( $\gamma \ll 1$ ) соотношения (8) и (12) переходят в уравнения, сходные с уравнениями модели вытеснения [3],

$$D_A = D_I C_I^* \frac{C_A^* + a_I}{(C_A^* + a_I)^2}, \quad (14)$$

$$C_I = C_I^* \frac{C_A^* + a_I}{(C_A^* + a_I)}. \quad (15)$$

Как следует из (15), при высокой поверхностной концентрации примеси ( $C_A^* \gg a_I$ ) в объем кристалла инжектируется значительное количество неравновесных межузлий. На хвосте диффузионного распределения в области  $C_A < a_I$  их концентрация постоянна.

Диффузия в этой области описывается линейным уравнением, причем коэффициент ускорения диффузии  $D_A(C_A \rightarrow 0)/D_a$  равен коэффициенту накачки (инжекции) неравновесных межузлий  $f_I$ :

$$f_I = C_I(C_A \rightarrow 0)/C_I^* = C_A^*/a_I + 1. \quad (16)$$

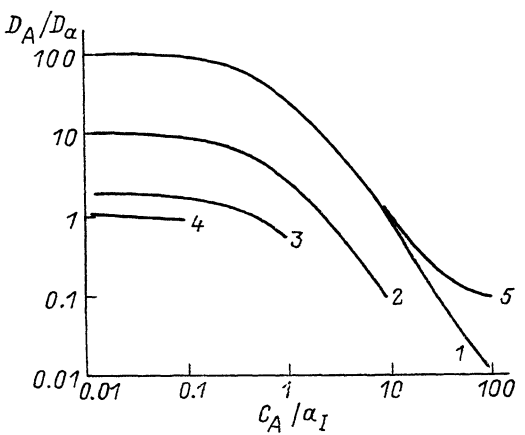


Рис. 1. Концентрационная зависимость нормированного коэффициента диффузии  $D_A/D_a$ .

Поверхностная концентрация  $C_A^*/a_I$ : 1 — 100, 2 — 20, 3 — 10, 4 — 1, 5 — 0,5.  $C_A^*/a_I = 120$ .

соотношения (6). Минимальное значение коэффициента диффузии соответствует  $C_A = C_A^*$ :

$$D_A^* = D_A(C_A = C_A^*) = \frac{C_I^* D_I}{C_A^*}. \quad (17)$$

Рассмотренные выше особенности профилей изображаются семейством зависимостей  $D_A(C_A, C_A^*)$ , показанным на рис. 1, кривые 1—4. Для получения профилей пространственного распределения примеси нами было выполнено численное решение диффузионного уравнения (5) с концентрационной зависимостью  $D_A(C_A)$ , задаваемой соотношениями (8) и (12). При решении использовалась замена  $\lambda = x/2\sqrt{D_a t}$ , преобразующая уравнение (5) в обыкновенное дифференциальное уравнение второго порядка. Зависимости, полученные для случая  $\gamma = 0$  [концентрационная зависимость  $D_A(C_A)$  в форме (14)] в диапазоне поверхностных концентраций  $C_A^*/a_I = 0.1—100$ , показаны на рис. 2.

Рассмотрим случай значительной доли вакансационной самодиффузии ( $\gamma > 1$ ). Если поверхность концентрация примеси достаточно высока ( $C_A^* > a_V$ ), то зависимость  $D_A(C_A)$  может быть аппроксимирована выражением

$$D_A(C_A) = \frac{D_V C_V^*}{C_A^*} + \frac{D_I C_I C_A^*}{(C_A^* + a_I)^2}. \quad (18)$$

Согласно (18), при  $C_A^s > a_I \alpha_I$  коэффициент диффузии определяется суммой коэффициентов диффузии по механизму вытеснения (второе слагаемое) и по диссоциативному механизму (первое слагаемое). Фактор ускорения диффузии на хвосте распределения определяется по-прежнему соотношением (16). Таким образом, вакан-

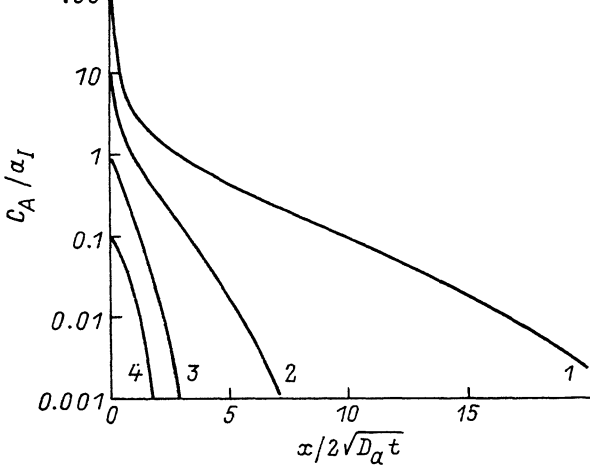


Рис. 2. Профили распределения примеси в отсутствие вакансационной самодиффузии,  $\gamma=0$ .  
Поверхностная концентрация  $C_A^s/a_I$ : 1 - 100, 2 - 10, 3 - 1, 4 - 0.1.

ционная самодиффузия оказывает влияние лишь на приповерхностный участок распределения. В глубине кристалла ваканции рекомбинируют с избыточными межузлями в соответствии с уравнением (2) и не оказывают существен-

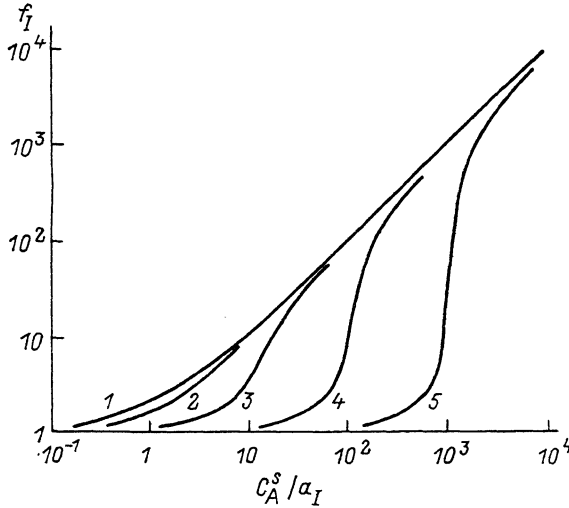


Рис. 3. Зависимость коэффициента инжекции неравновесных межузлий от поверхностной концентрации для разных величин фактора вакансационной самодиффузии  $\gamma$ .  
 $\gamma$ : 1 - 0, 2 - 1, 3 - 10, 4 - 100, 5 - 1000.

ного влияния на диффузию примеси. Концентрационная зависимость коэффициента диффузии для  $C_A^s/a_I=120$  ( $\gamma=10$ ) показана на кривой 5 на рис. 1.

В области поверхностных концентраций  $C_A^s$  порядка  $a_I$  приближение (18) не-применимо, и необходимо пользоваться соотношениями (8) и (12). В этой об-ласти наблюдается быстрое изменение коэффициента инжекции неравновесных межузлий с изменением поверхностной концентрации примеси. Зависимость факора ускорения диффузии  $f_I=C_I/C_I^s$  от поверхностной концентрации при-

меся и фактора вакансационной самодиффузии показана на рис. 3. В области низких поверхностных концентраций инъекции неравновесных межузлий не происходит, так как они рекомбинируют с поступающими с поверхности вакансиями. При  $C_A^* = a_V$  наблюдается резкий скачок. В области  $C_A^* > a_V$  вакансию рекомбинируют с инжектируемыми межузлями и не оказывают существенного влияния на концентрацию межузлий в объеме кристалла.

### 3. Использование приповерхностного участка диффузионного распределения для исследования процессов самодиффузии

Форма приповерхностного участка диффузионного распределения примеси существенно зависит от отношения коэффициентов вакансационной и межузельной самодиффузии. Для анализа приповерхностного участка удобно использовать зависимость нормированной обратной концентрации примеси  $C_A^*/C_A$  от нормированной глубины проникновения  $\tilde{x} = x/2\sqrt{D_A t}$ , где  $D_A^* = D_{S1} N_S / C_A^*$  ( $D_{S1}$  — коэффициент самодиффузии по межузлям).

Рассмотрим вначале случай малой доли вакансационной самодиффузии ( $\gamma \rightarrow 0$ ). При высокой поверхностной концентрации примеси  $C_A^*/a_V \gg 1$  зависимости  $C_A^*/C_A$  от нормированной координаты  $\tilde{x}$  близки к линейным (рис. 4, кривые 1—3). Наклон этих кривых лишь слабо зависит от величины поверхностной концентрации  $C_A^*/a_V$ . Так, в интервале  $C_A^*/a_V = 100 \div 10000$  наклон зависимостей изменяется не более чем на 40 %. Приведенные на рис. 4 результаты численного расчета могут быть пояснены с использованием аналитического решения уравнения концентрационно зависимой диффузии с коэффициентом диффузии вида  $D_A(C_A) = (C_A^*/C_A)^2$ . В работе [5] было показано, что для предельного случая высокой поверхностной концентрации  $C_A^* \rightarrow \infty$  такое уравнение может быть решено методом разделения переменных. Величина производной от обратной концентрации  $f = d/d\tilde{x}(C_A^*/C_A)$  может быть найдена по соотношению

$$f^2(C_1) - f^2(C_2) = 2 \ln(C_1/C_2). \quad (19)$$

Как видно из соотношения (19), аналитическое решение дает очень слабую зависимость наклона кривых  $C_A^*/C_A$  от концентрации. Близость профилей распределения примеси, диффундирующей по механизму вытеснения, к зависимости вида  $1/x$  ранее была отмечена также в [3] на основе анализа аналитического решения диффузионного уравнения с  $D_A = C_A^{-2}$ . Зависимость типа  $1/x$  характерна и для численного решения уравнения диффузии с  $D_A(C_A)$  в форме (14) для высокой поверхностной концентрации  $C_A^* > a_V$ . На рис. 5, кривая 1, показана зависимость величины наклона  $f_0$  профилей обратной концентрации примеси от поверхностной концентрации  $C_A^*/a_V$ . Как видно из рис. 5, наклон зависимостей изменяется не более чем в 1.5 раза при изменении поверхностной концентрации на 2 порядка. Обратим внимание на то, что под величиной  $f_0$  мы понимаем не значение производной  $d(C_A^*/C_A)/d\tilde{x}$  при  $C_A = C_A^*$ , а среднее значение, соответствующее изменению  $C_A$  на порядок величины, т. е. от  $C_A = C_A^*$  до  $C_A = 0.1 C_A^*$ .

Рассмотрим теперь случай значительной вакансационной самодиффузии ( $\gamma > 1$ ). В пределе высокой  $C_A^*$  ( $C_A^* \gg a_V$ ) распределение примеси в объеме кристалла не имеет качественных отличий от распределения примеси в отсутствие вакансационной самодиффузии. Это связано с тем, что при  $C_A \ll C_A^*$  доминирующую роль играет механизм вытеснения [второе слагаемое в правой части (18)]. Результаты численного расчета приведены на рис. 4 (зависимости 4—7). Мы видим, что в глубине кристалла профили обратной концентрации примеси имеют практически тот же наклон, что и в случае  $\gamma = 0$  (ср. кривые 4—7 и кривую 3 рис. 4). В то же время в приповерхностной области при  $C_A \approx C_A^*$  появляется сверхлинейный участок, связанный с диффузией по диссоциативному механизму [первое слагаемое в правой части (18)]. Влияние диффузии по диссоциативному механизму на профили распределения примеси можно охарактеризовать величиной сдвига линейного участка в объеме кристалла. Величина сдвига  $x_0$  может быть определена экстраполяцией линейного участка зависимостей

$F = C_A^s/C_A - 1$  в нуль ( $F=0$ , см. построение на рис. 4). Анализ результатов численного расчета показывает, что произведение  $B=x_0 f_0$  слабо зависит от величины поверхностной концентрации примеси и определяется величиной фактора вакансационной самодиффузии  $\gamma$ . Зависимости  $B$  ( $\gamma$ ) приведены на рис. 5, кривые 2—4.

Рассмотренные нами особенности профилей обратной концентрации примеси позволяют предложить достаточно простую и эффективную методику анализа механизма самодиффузии и определения коэффициентов самодиффузии по межузлям и вакансиям. Если профили обратной концентрации примеси имеют достаточно протяженный линейный участок, это следует рассматривать как

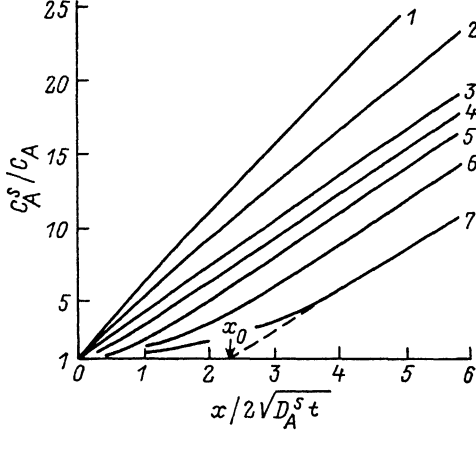


Рис. 4. Профили обратной концентрации примеси  $c_A^s/a_A$ .

Для 1—3  $\gamma = 0$ ,  $C_A^s/a_I$ : 1 —  $10^8$ , 2 —  $10^8$ , 3 —  $10^2$ .

Для 3—7  $C_A^s/a_I = 10^2$ ,  $\gamma$ : 3 — 0, 4 — 2, 6 — 10, 7 — 20.

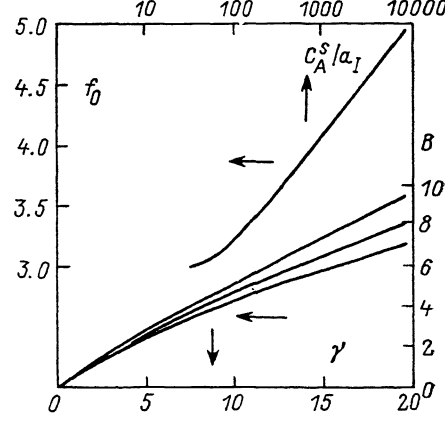


Рис. 5. Зависимости параметров профилей обратной концентрации примеси наклона линейного участка  $f_0$  от поверхностной концентрации, сдвига линейного участка  $B=x_0 f_0$  от фактора вакансационной самодиффузии.

Поверхностная концентрация  $C_A^s/a_I$ : 2 —  $10^2$ , 3 —  $10^8$ , 4 —  $10^8$ .

указание на значительную роль механизма вытеснения. По величине наклона линейного участка  $\Delta (C_A^s/C_A)/\Delta x$  мы можем определить коэффициент межузельной самодиффузии с помощью соотношения

$$D_{SI} = \frac{C_A^s}{4N_S t} \left[ \frac{f_0 \Delta x}{\Delta (C_A^s/C_A)} \right]^2. \quad (20)$$

Для точного определения  $f_0$  необходимо знать величину относительной поверхностной концентрации  $C_A^s/a_I$ . Если на экспериментальных профилях в области низкой концентрации проявляется объемная ветвь, хвост типа erf<sup>c</sup>-распределения, то можно положить, что величина  $a_I$  равна кажущейся поверхностной концентрации erf<sup>c</sup>-распределения (рис. 2). Если же измерить распределение при низких концентрациях не удается и данные о величине  $a_I$  отсутствуют, то, положив произвольно  $C_A^s/a_I = 10^8$ , определим  $D_{SI}$  с ошибкой, не превосходящей 30—40 %. Присутствие на профилях обратной концентрации сверхлинейного участка в приповерхностной области является свидетельством значительной доли вакансационной самодиффузии ( $\gamma > 1$ ). Коэффициент самодиффузии по межузлям и в этом случае будет определяться соотношением (20), и под величиной наклона  $\Delta (C_A^s/C_A)/\Delta x$  необходимо понимать наклон линейного участка. Для определения фактора вакансационной самодиффузии  $\gamma = D_V C_V^s/D_I C_I^s$  требуется найти сдвиг линейного участка  $X_0^{\text{эксп}}$  профиля обратной концентрации  $F = C_A^s/C_A - 1$ , экстраполировав линейный участок в нуль, аналогично построению на рис. 4. Из величины сдвига  $X_0^{\text{эксп}}$  величина  $\gamma$  может быть определена с помощью зависимостей, приведенных на рис. 5, где величина  $B$  ( $\gamma$ ) определяется соотношением

$$B(\gamma) = X_0^{\text{эксп}} \Delta (C_A^s/C_A)/\Delta x. \quad (21)$$

Как известно, попытки идентификации природы точечных дефектов в бинарных полупроводниках по профилям диффузионного распределения примесей до настоящего времени не имели заметных успехов. Моделирование таких процессов осложняется высокой плотностью дислокаций, значительным фоном «замороженных» точечных дефектов, а также рядом других обстоятельств. Использование естественных координат  $C_A^{-1} - x$  для анализа диффузионных профилей может оказаться весьма полезным для выяснения роли вакансий и собственных межузлий в бинарных материалах.

В заключение автор считает своим приятным долгом поблагодарить Р. Ш. Малковича за полезное обсуждение.

#### Список литературы

- [1] Frank F. C., Turnbull D. // Phys. Rev. 1956. V. 104. N 2. P. 617—625.
- [2] Göesele U., Frank W., Seeger A. // Appl. Phys. 1980. V. 23. N 1. P. 361—368.
- [3] Göesele U., Morehead F. F., Frank W., Seeger A. // Appl. Phys. Lett. 1981. V. 38. N 3. P. 157—159.
- [4] Morehead F. F., Stolwijk N. A., Meyberg W., Göesele U. // Appl. Phys. Lett. 1983. V. 42. N 8. P. 690—692.
- [5] Bluman J., Kumer S. // J. Math. Phys. 1980. V. 21. N 4. P. 1019—1023.

Физико-технический институт  
им. А. Ф. Иоффе АН СССР  
Ленинград

Получена 26.02.1991  
Принята к печати 12.03.1991